

Starkniederschlagshöhen und -spenden gemäß KOSTRA-DWD-2020

Rasterfeld 117109

(Zeile 117, Spalte 109)

Regenspende und Bemessungsniederschlagswerte in Abhängigkeit von Wiederkehrzeit T und Dauerstufe D

| Dauerstufe D | | Wiederkehrzeit T | | | | | | | | | | | | | | | | | |
|--------------|-----|------------------|------------|------|------------|------|------------|------|------------|-------|------------|-------|------------|-------|------------|-------|------------|-------|------------|
| | | 1 a | | 2 a | | 3 a | | 5 a | | 10 a | | 20 a | | 30 a | | 50 a | | 100 a | |
| min | Std | mm | l / (s ha) | mm | l / (s ha) | mm | l / (s ha) | mm | l / (s ha) | mm | l / (s ha) | mm | l / (s ha) | mm | l / (s ha) | mm | l / (s ha) | mm | l / (s ha) |
| 5 | | 6,9 | 230,0 | 8,7 | 290,0 | 9,9 | 330,0 | 11,3 | 376,7 | 13,5 | 450,0 | 15,7 | 523,3 | 17,1 | 570,0 | 19,0 | 633,3 | 21,7 | 723,3 |
| 10 | | 8,9 | 148,3 | 11,2 | 186,7 | 12,7 | 211,7 | 14,6 | 243,3 | 17,3 | 288,3 | 20,2 | 336,7 | 22,0 | 366,7 | 24,5 | 408,3 | 28,0 | 466,7 |
| 15 | | 10,1 | 112,2 | 12,8 | 142,2 | 14,4 | 160,0 | 16,6 | 184,4 | 19,7 | 218,9 | 23,0 | 255,6 | 25,1 | 278,9 | 27,9 | 310,0 | 31,8 | 353,3 |
| 20 | | 11,0 | 91,7 | 13,9 | 115,8 | 15,7 | 130,8 | 18,1 | 150,8 | 21,5 | 179,2 | 25,0 | 208,3 | 27,3 | 227,5 | 30,4 | 253,3 | 34,7 | 289,2 |
| 30 | | 12,4 | 68,9 | 15,6 | 86,7 | 17,7 | 98,3 | 20,3 | 112,8 | 24,2 | 134,4 | 28,1 | 156,1 | 30,7 | 170,6 | 34,1 | 189,4 | 38,9 | 216,1 |
| 45 | | 13,8 | 51,1 | 17,5 | 64,8 | 19,7 | 73,0 | 22,7 | 84,1 | 27,0 | 100,0 | 31,4 | 116,3 | 34,3 | 127,0 | 38,1 | 141,1 | 43,5 | 161,1 |
| 60 | 1 | 14,9 | 41,4 | 18,9 | 52,5 | 21,3 | 59,2 | 24,5 | 68,1 | 29,1 | 80,8 | 33,9 | 94,2 | 37,0 | 102,8 | 41,1 | 114,2 | 47,0 | 130,6 |
| 90 | 1,5 | 16,6 | 30,7 | 21,0 | 38,9 | 23,7 | 43,9 | 27,3 | 50,6 | 32,4 | 60,0 | 37,7 | 69,8 | 41,2 | 76,3 | 45,7 | 84,6 | 52,2 | 96,7 |
| 120 | 2 | 17,9 | 24,9 | 22,6 | 31,4 | 25,5 | 35,4 | 29,4 | 40,8 | 34,9 | 48,5 | 40,6 | 56,4 | 44,3 | 61,5 | 49,2 | 68,3 | 56,3 | 78,2 |
| 180 | 3 | 19,8 | 18,3 | 25,0 | 23,1 | 28,3 | 26,2 | 32,6 | 30,2 | 38,7 | 35,8 | 45,0 | 41,7 | 49,2 | 45,6 | 54,6 | 50,6 | 62,4 | 57,8 |
| 240 | 4 | 21,3 | 14,8 | 26,9 | 18,7 | 30,4 | 21,1 | 35,0 | 24,3 | 41,6 | 28,9 | 48,4 | 33,6 | 52,9 | 36,7 | 58,7 | 40,8 | 67,1 | 46,6 |
| 360 | 6 | 23,6 | 10,9 | 29,8 | 13,8 | 33,7 | 15,6 | 38,8 | 18,0 | 46,1 | 21,3 | 53,6 | 24,8 | 58,6 | 27,1 | 65,0 | 30,1 | 74,3 | 34,4 |
| 540 | 9 | 26,1 | 8,1 | 33,0 | 10,2 | 37,3 | 11,5 | 42,9 | 13,2 | 51,0 | 15,7 | 59,4 | 18,3 | 64,8 | 20,0 | 72,0 | 22,2 | 82,3 | 25,4 |
| 720 | 12 | 28,1 | 6,5 | 35,5 | 8,2 | 40,1 | 9,3 | 46,1 | 10,7 | 54,8 | 12,7 | 63,8 | 14,8 | 69,7 | 16,1 | 77,4 | 17,9 | 88,4 | 20,5 |
| 1080 | 18 | 31,1 | 4,8 | 39,3 | 6,1 | 44,4 | 6,9 | 51,0 | 7,9 | 60,7 | 9,4 | 70,6 | 10,9 | 77,1 | 11,9 | 85,6 | 13,2 | 97,8 | 15,1 |
| 1440 | 24 | 33,4 | 3,9 | 42,2 | 4,9 | 47,7 | 5,5 | 54,8 | 6,3 | 65,2 | 7,5 | 75,8 | 8,8 | 82,8 | 9,6 | 92,0 | 10,6 | 105,1 | 12,2 |
| 2880 | 48 | 39,7 | 2,3 | 50,1 | 2,9 | 56,6 | 3,3 | 65,2 | 3,8 | 77,5 | 4,5 | 90,1 | 5,2 | 98,4 | 5,7 | 109,3 | 6,3 | 124,9 | 7,2 |
| 4320 | 72 | 43,9 | 1,7 | 55,5 | 2,1 | 62,6 | 2,4 | 72,1 | 2,8 | 85,7 | 3,3 | 99,7 | 3,8 | 108,9 | 4,2 | 120,9 | 4,7 | 138,2 | 5,3 |
| 5760 | 96 | 47,1 | 1,4 | 59,6 | 1,7 | 67,3 | 1,9 | 77,4 | 2,2 | 92,0 | 2,7 | 107,1 | 3,1 | 117,0 | 3,4 | 129,9 | 3,8 | 148,4 | 4,3 |
| 7200 | 120 | 49,8 | 1,2 | 63,0 | 1,5 | 71,1 | 1,6 | 81,9 | 1,9 | 97,3 | 2,3 | 113,2 | 2,6 | 123,6 | 2,9 | 137,3 | 3,2 | 156,9 | 3,6 |
| 8640 | 144 | 52,1 | 1,0 | 65,9 | 1,3 | 74,4 | 1,4 | 85,7 | 1,7 | 101,8 | 2,0 | 118,5 | 2,3 | 129,4 | 2,5 | 143,7 | 2,8 | 164,1 | 3,2 |
| 10080 | 168 | 54,2 | 0,9 | 68,5 | 1,1 | 77,3 | 1,3 | 89,0 | 1,5 | 105,8 | 1,7 | 123,1 | 2,0 | 134,4 | 2,2 | 149,3 | 2,5 | 170,6 | 2,8 |

Starkniederschlagshöhen und -spenden gemäß KOSTRA-DWD-2020

Rasterfeld 117109

(Zeile 117, Spalte 109)

Örtliche Unsicherheiten in Abhängigkeit von Wiederkehrzeit T und Dauerstufe D

| Dauerstufe D | | Wiederkehrzeit T | | | | | | | | |
|--------------|-----|------------------|-----|-----|-----|------|------|------|------|-------|
| | | 1 a | 2 a | 3 a | 5 a | 10 a | 20 a | 30 a | 50 a | 100 a |
| min | Std | ± % | ± % | ± % | ± % | ± % | ± % | ± % | ± % | ± % |
| 5 | | 10 | 11 | 12 | 13 | 14 | 15 | 16 | 16 | 17 |
| 10 | | 13 | 15 | 16 | 17 | 18 | 19 | 20 | 20 | 21 |
| 15 | | 15 | 17 | 18 | 19 | 20 | 21 | 22 | 22 | 23 |
| 20 | | 15 | 18 | 19 | 20 | 21 | 22 | 23 | 23 | 24 |
| 30 | | 16 | 18 | 20 | 21 | 22 | 23 | 24 | 24 | 25 |
| 45 | | 16 | 18 | 20 | 21 | 22 | 23 | 24 | 24 | 25 |
| 60 | 1 | 16 | 18 | 19 | 21 | 22 | 23 | 23 | 24 | 25 |
| 90 | 1,5 | 15 | 18 | 19 | 20 | 21 | 22 | 23 | 23 | 24 |
| 120 | 2 | 15 | 17 | 18 | 19 | 21 | 22 | 22 | 23 | 23 |
| 180 | 3 | 14 | 16 | 17 | 18 | 20 | 21 | 21 | 22 | 22 |
| 240 | 4 | 13 | 15 | 16 | 18 | 19 | 20 | 20 | 21 | 22 |
| 360 | 6 | 12 | 14 | 15 | 17 | 18 | 19 | 19 | 20 | 21 |
| 540 | 9 | 11 | 13 | 14 | 15 | 17 | 18 | 18 | 19 | 20 |
| 720 | 12 | 11 | 13 | 14 | 15 | 16 | 17 | 18 | 18 | 19 |
| 1080 | 18 | 10 | 12 | 13 | 14 | 15 | 16 | 17 | 17 | 18 |
| 1440 | 24 | 10 | 11 | 12 | 13 | 14 | 15 | 16 | 16 | 17 |
| 2880 | 48 | 10 | 11 | 11 | 12 | 13 | 14 | 15 | 15 | 16 |
| 4320 | 72 | 10 | 10 | 11 | 12 | 13 | 13 | 14 | 14 | 15 |
| 5760 | 96 | 10 | 11 | 11 | 12 | 12 | 13 | 14 | 14 | 15 |
| 7200 | 120 | 11 | 11 | 11 | 12 | 12 | 13 | 13 | 14 | 14 |
| 8640 | 144 | 11 | 11 | 11 | 12 | 12 | 13 | 13 | 14 | 14 |
| 10080 | 168 | 12 | 11 | 11 | 12 | 12 | 13 | 13 | 13 | 14 |

Parameter für abweichende T und D

Lokationsparameter ξ (Xi)

15,16305796

Skalenparameter α (Alpha)

5,57415679

Formparameter κ (Kappa)

-0,1

1. Koutsoyiannis-Parameter θ (Theta)

0,02098539

2. Koutsoyiannis-Parameter η (Eta)

0,75139831

Parameter für dauerstufenübergreifende Extremwertschätzung nach KOUTSOYIANNIS et al. 1998.

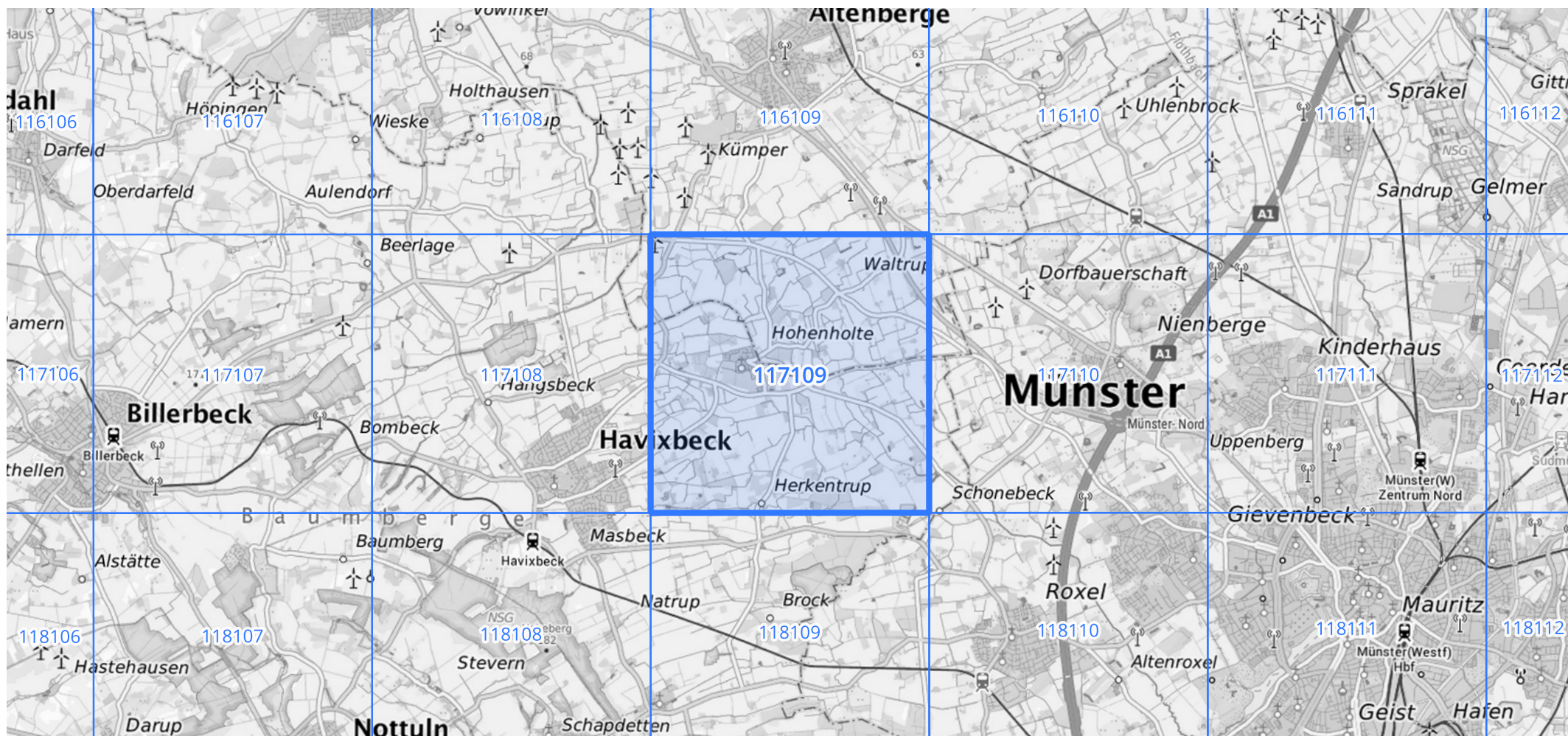
Siehe auch Anwendungshilfe zu KOSTRA-DWD-2020 des Deutschen Wetterdienstes.

Starkniederschlagshöhen und -spenden gemäß KOSTRA-DWD-2020

Rasterfeld 117109

(Zeile 117, Spalte 109)

Übersichtskarte des Rasterfeldes 117109, M 1 : 100 000



Quelle Rasterdaten: KOSTRA-DWD-2020 des Deutschen Wetterdienstes, Stand 12/2022.

Seite 3 von 3

Kartendarstellung: © Bundesamt für Kartographie und Geodäsie (2023), Datenquellen: https://sgx.geodatenzentrum.de/web_public/gdz/datenquellen/Datenquellen_TopPlusOpen.html

Für die Richtigkeit und Aktualität der Angaben wird keine Gewähr übernommen. Erstellt 01/2023.